

浙江大学实验报告

专业：信息工程

姓名：王英杰

学号：3190103370

日期：2021/10/3

地点：

课程名称：数字信号处理 指导老师：潘翔 成绩：

实验名称：有限长序列、频谱、DFT 的性质 实验类型：演示 同组学生姓名：——

一、实验目的和要求

设计通过演示实验，建立对典型信号及其频谱的直观认识，理解 DFT 的物理意义、主要性质。

二、实验内容和步骤

2-1 用 MATLAB，计算得到五种共 9 个序列：

$$2-1-1 \text{ 实指数序列 } x(n) = \begin{cases} a^n & 0 \leq n \leq \text{length}-1 \\ 0 & \text{otherwise} \end{cases} \quad \begin{array}{l} \text{例如, } a=0.5, \text{length}=10 \\ a=0.9, \text{length}=10 \\ a=0.9, \text{length}=20 \end{array}$$

$$2-1-2 \text{ 复指数序列 } x(n) = \begin{cases} (a + jb)^n & 0 \leq n \leq \text{length}-1 \\ 0 & \text{otherwise} \end{cases} \quad \text{例如, } a=0.5, b=0.8, \text{length}=10$$

2-1-3 从正弦信号 $x(t)=\sin(2\pi ft+\text{delta})$ 抽样得到的正弦序列 $x(n)=\sin(2\pi fnT+\text{delta})$ 。如，信号频率 $f=1\text{Hz}$ ，初始相位 $\text{delta}=0$ ，抽样间隔 $T=0.1$ 秒，序列长 $\text{length}=10$ 。

2-1-4 从余弦信号 $x(t)=\cos(2\pi ft + \text{delta})$ 抽样得到的余弦序列 $x(n)=\cos(2\pi fnT + \text{delta})$ 。如，信号频率 $f=1\text{Hz}$ ，初相位 $\text{delta}=0$ ，抽样间隔 $T=0.1$ 秒，序列长 $\text{length}=10$ 。

2-1-5 含两个频率分量的复合函数序列 $x(n)=\sin(2\pi f_1 nT)+\text{delta} \times \sin(2\pi f_2 nT+\text{phi})$ 。如，

频率 f_1 (Hz)	频率 f_2 (Hz)	相对振幅 delta	初相位 phi (度)	抽样间隔 T (秒)	序列长 length
1	3	0.5	0	0.1	10
1	3	0.5	90	0.1	10
1	3	0.5	180	0.1	10

2-2 用 MATLAB，对上述各个序列，重复下列过程。

2-2-1 画出一个序列的实部、虚部、模、相角；观察并记录实部、虚部、模、相角的特征。

2-2-2 计算该序列的幅度谱、频谱实部、频谱虚部；观察和并记录它们的特征，给予解释。

2-2-3 观察同种序列取不同参数时的频谱，发现它们的差异，给予解释。

三、主要仪器设备

MATLAB 编程。

四、操作方法和实验步骤

(参见“二、实验内容和步骤”)

五、实验数据记录和处理

MATLAB 程序清单分为序列生成和序列处理两个部分，序列处理的代码都相同，故不重复列出。

5-1 实指数序列
$$x(n) = \begin{cases} a^n & 0 \leq n \leq \text{length}-1 \\ 0 & \text{otherwise} \end{cases}$$

5-1-1 a = 0.5; length = 10;

```
%% 生成序列
a = 0.5; length = 10;
n = [0:length-1];
x_n = a.^n; %序列 x(n)
```

5-1-2 a = 0.9; length = 10;

```
%% 生成序列
a = 0.9; length = 10;
n = [0:length-1];
x_n = a.^n; %序列x(n)
```

5-1-3 a = 0.9; length = 20;

```
%% 生成序列
a = 0.9; length = 20;
n = [0:length-1];
x_n = a.^n;
```

5-2 复指数序列
$$x(n) = \begin{cases} (a + jb)^n & 0 \leq n \leq \text{length}-1 \\ 0 & \text{otherwise} \end{cases}$$

```
%% 生成序列
a = 0.5; b = 0.8; length = 10;
n = [0:1:length-1];
x_n = (a+b*j).^n;
```

5-3 正弦序列 $x(n) = \sin(2\pi f n T + \text{delta})$

```
%% 生成序列
T = 0.1; length = 10; delta = 0; f = 1;
n = [0:length-1];
x_n = sin(2*pi*f*n*T+delta);
```

5-4 余弦序列 $x(n) = \cos(2\pi f n T + \text{delta})$

```
%% 生成序列
T = 0.1; length = 10; delta = 0; f = 1;
n = [0:length-1];
x_n = cos(2*pi*f*n*T+delta);
x_w = fft(x_n, length); %序列进行FFT变换
```

实验名称: 有限长序列、频谱、DFT的性质 姓名: 王英杰 学号: 3190103370 **P.3**

5-5 复合函数序列 $x(n)=\sin(2\pi f_1 nT)+\delta \times \sin(2\pi f_2 nT+\phi)$

5-5-1 $\phi = 0$;

```
%% 生成序列
f1 = 1; f2 = 3; delta = 0.5; phi = 0; T = 0.1; length = 10;
n = [0:length-1];
x_n = sin(2*pi*f1*n*T) + delta*sin(2*pi*f2*n*T+phi);
```

5-5-2 $\phi = 90$;

```
%% 生成序列
f1 = 1; f2 = 3; delta = 0.5; phi = pi/2; T = 0.1; length = 10;
n = [0:length-1];
x_n = sin(2*pi*f1*n*T) + delta*sin(2*pi*f2*n*T+phi);
```

5-5-3 $\phi = 180$;

```
%% 生成序列
f1 = 1; f2 = 3; delta = 0.5; phi = pi; T = 0.1; length = 10;
n = [0:length-1];
x_n = sin(2*pi*f1*n*T) + delta*sin(2*pi*f2*n*T+phi);
```

序列处理代码段

```
x_w = fft(x_n, length); %对序列进行FFT变换
%% 序列的实部、虚部、模、相角
figure(1);
subplot(4,1,1);stem([0:length-1],real(x_n),'filled');
title("实部");xlabel("n");ylabel("Re\{x(n)\}");

subplot(4,1,2);stem([0:length-1],imag(x_n),'filled');
title("虚部");xlabel("n");ylabel("Im\{x(n)\}");

subplot(4,1,3);stem([0:length-1],abs(x_n),'filled');
title("模");xlabel("n");ylabel("|x(n)|");

subplot(4,1,4);stem([0:length-1],angle(x_n),'filled');
title("相角");xlabel("n");ylabel("\Phi");
%% 序列经DFT变换后的幅度谱、频谱实部、虚部
figure(2);
subplot(3,1,1);stem([0:length-1],abs(x_w),'filled');
title("幅度谱");xlabel('k');ylabel('|x(k)|');

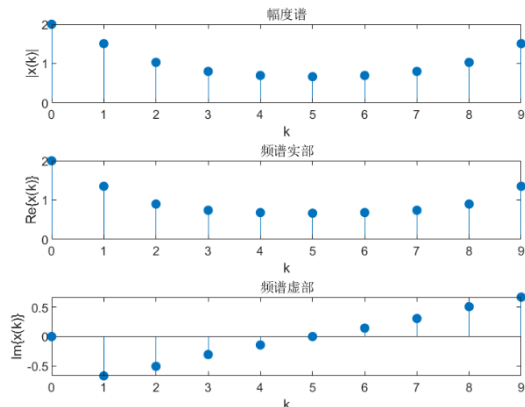
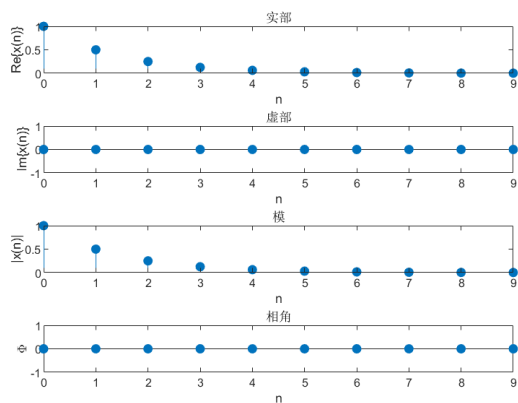
subplot(3,1,2);stem([0:length-1],real(x_w),'filled');
title("频谱实部");xlabel('k');ylabel('Re\{x(k)\}');

subplot(3,1,3);stem([0:length-1],imag(x_w),'filled');
title("频谱虚部");xlabel('k');ylabel('Im\{x(k)\}');
```

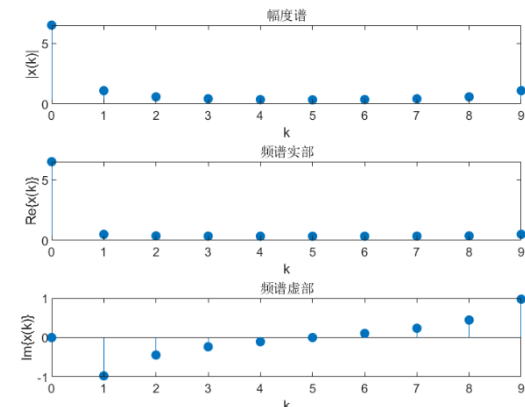
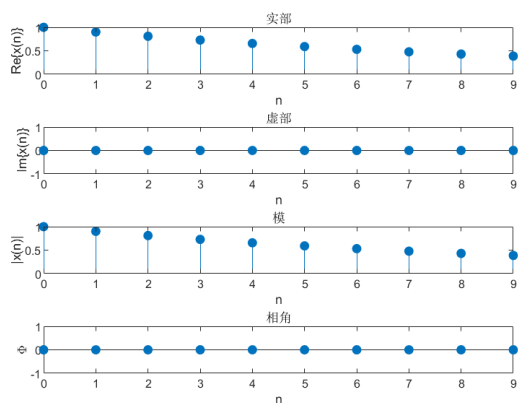
六、实验结果与分析

6-1-1 实指数序列 $x(n) = \begin{cases} a^n & 0 \leq n \leq \text{length}-1 \\ 0 & \text{otherwise} \end{cases}$

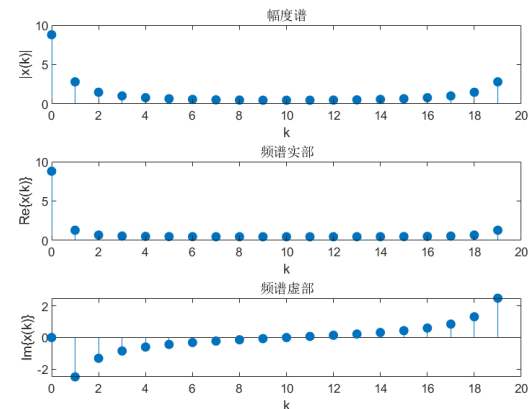
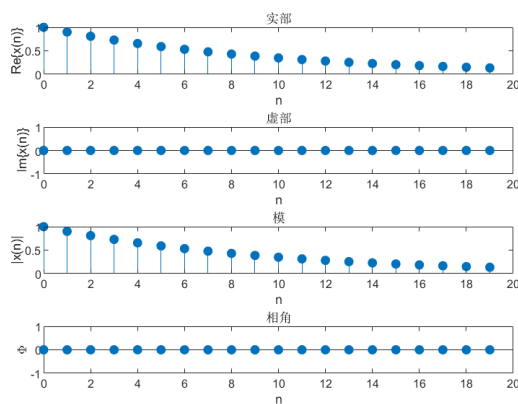
(1) $a = 0.5$; $\text{length} = 10$;



(2) $a = 0.9$; $\text{length} = 10$;



(3) $a = 0.9$; $\text{length} = 20$;



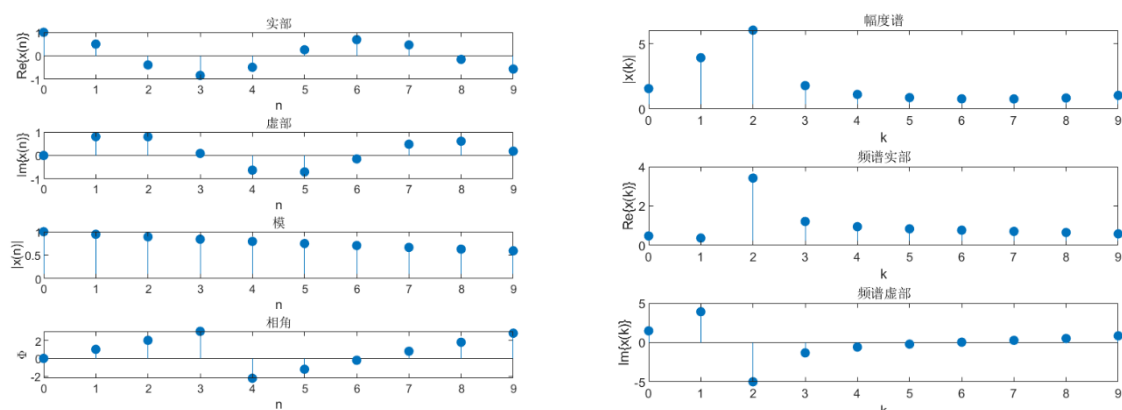
实指数序列在时域中模和其实部大小相同，虚部和相位角均为 0；在频域中可以看到幅度谱和频谱的实部都是圆周偶对称的，频谱的虚部是圆周奇对称；体现了 DFT 的共轭对称性。

当实指数序列的底数越接近 1，在时域上显现为指数序列的变化更为平缓；在频域上表现为频谱更集中于 $k=0$ 的这个点；这是因为底数越接近于 1，序列越接近于直流信号，所以在频域中直流分量，即 $X(0)$ ，更为突出。

当序列的点数 n 增加，数据的有效长度增加，在时域上表现为采样序列更好的表示实指数序列的真实情况；在频域上，频谱的分辨率更高，频谱的信息更为丰富。

$$6-1-2 \text{ 复指数序列 } x(n) = \begin{cases} (a + jb)^n & 0 \leq n \leq \text{length}-1 \\ 0 & \text{otherwise} \end{cases}$$

$a = 0.5; b = 0.8; \text{length} = 10;$



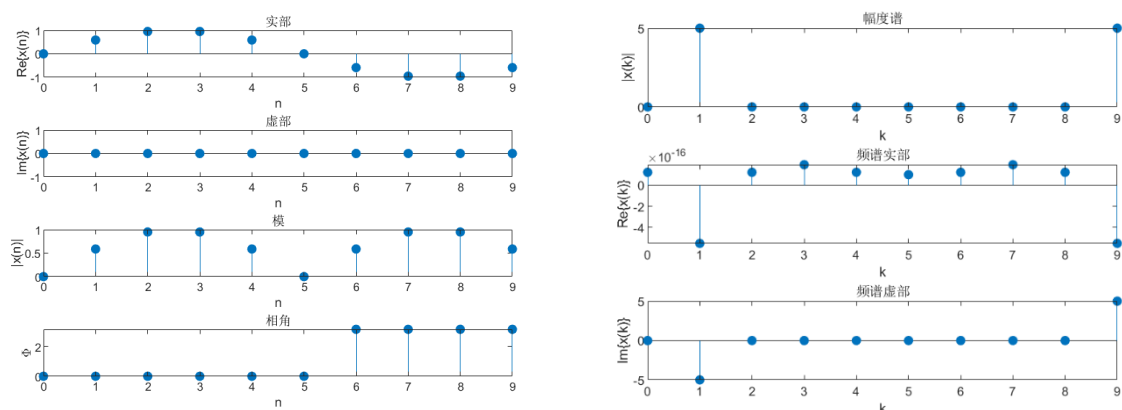
复指数序列在时域上实部和虚部的变化难以找到规律，模长为 $(a^2 + b^2)^{n/2}$ ，显示为实指数序列变化；相角为 $n \arctan\left(\frac{b}{a}\right)$ ，范围为 $(-\pi, \pi]$ ；在频域上，

$$(a + bj)^n = (0.5 + 0.8j)^n = e^{jn \arctan\left(\frac{b}{a}\right)} \approx e^{j1.0122n}$$

与 $W_N^{-nk}|_{k=2} = e^{j\frac{2\pi n \cdot 2}{N}} \approx e^{j1.257n}$ 较为接近，所以幅度谱中， $|X(2)|$ 最大。

6-1-3 正弦信号序列 $x(t) = \sin(2\pi f t + \delta)$

$f = 1\text{Hz}; \delta = 0; T = 0.1; \text{length} = 10;$

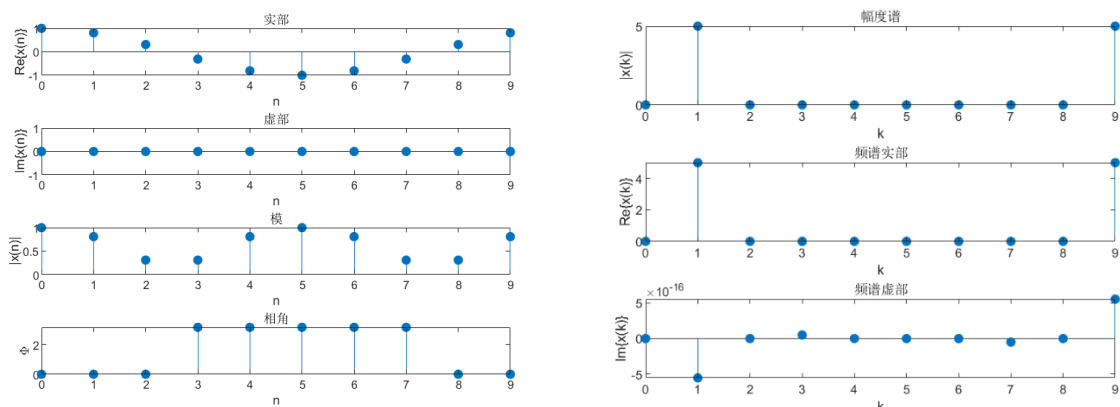


正弦信号在时域上正弦信号为实信号, 因此虚部为 0, 相角只因为实部的正负而分别为 0 或 π 。

在频域上, 可以看到幅度谱和频谱实部均有圆周偶对称性, 虚部为圆周奇对称性; 正弦信号可写成指数形式 $x(n) = \frac{1}{2j} * (e^{2\pi f n T j} - e^{-2\pi f n T j})$, 其频谱的实部理论上为 0, 但所得结果为一个接近于 0 的一个小量, 这是因为 MATLAB 计算中存在的数值误差; 观察频谱可知在 $k=1$ 和 9 的两个频点上, 幅度最大, 其他点为 0, 与 $x(n) = \frac{1}{2j} * (e^{2\pi f n T j} - e^{-2\pi f n T j})$ 的两个频点 f 和 $10-f$ 符合。

6-1-4 余弦信号序列 $x(n)=\cos(2\pi f n T + \delta)$

$f = 1\text{Hz}; \delta = 0; T = 0.1; \text{length} = 10;$

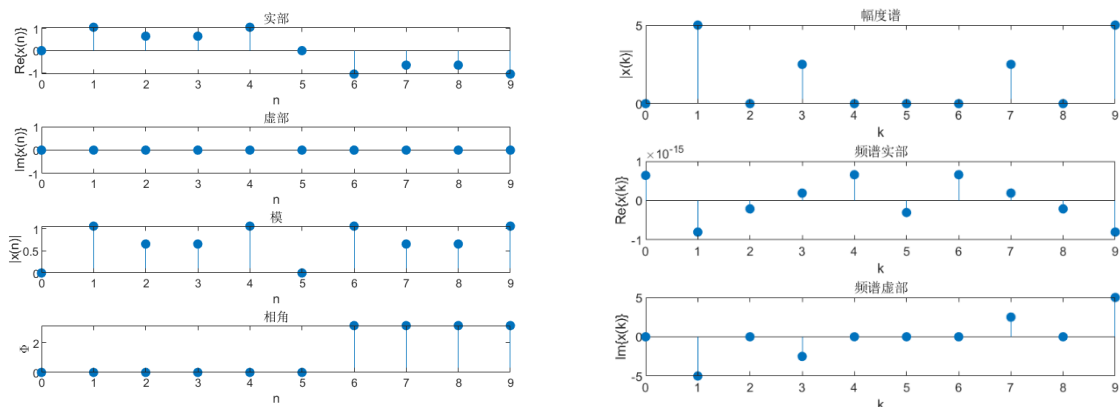


余弦序列为实信号, 因此虚部为 0, 相角只因为实部的正负而分别为 0 或 π 。

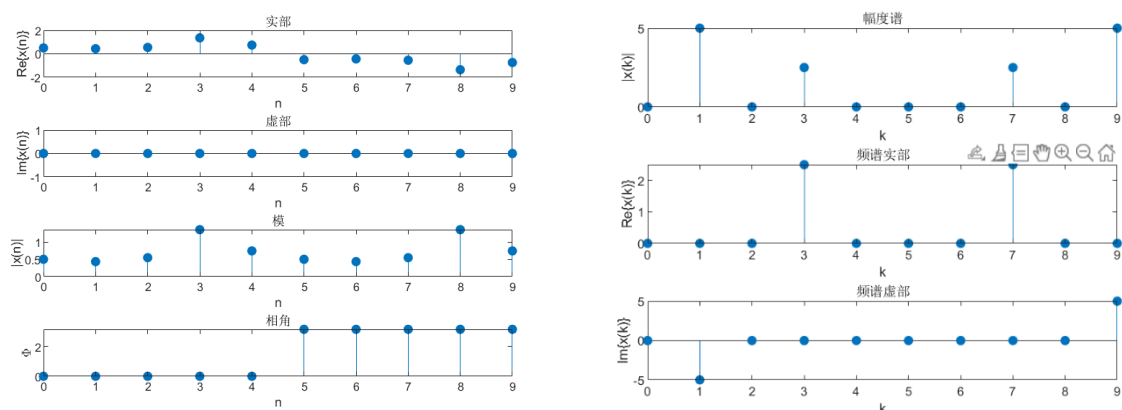
在频域上, 可以看到幅度谱和频谱实部均有圆周偶对称性, 虚部为圆周奇对称性; 余弦信号可写成 $x(n) = \frac{1}{2} * (e^{2\pi f n T j} + e^{-2\pi f n T j})$, 其频谱的虚部理论上为 0, 但所得结果为一个接近于 0 的一个小量, 这是因为 MATLAB 计算中存在的数值误差; 观察频谱可知在 $k = 1$ 和 9 的两个频点上, 幅度最大, 其他点为 0, 与 $x(n) = \frac{1}{2j} * (e^{2\pi f n T j} - e^{-2\pi f n T j})$ 的两个频点 f 和 $10-f$ 符合。

6-1-5 复合函数序列 $x(n)=\sin(2\pi f_1 n T) + \delta \times \sin(2\pi f_2 n T + \phi)$

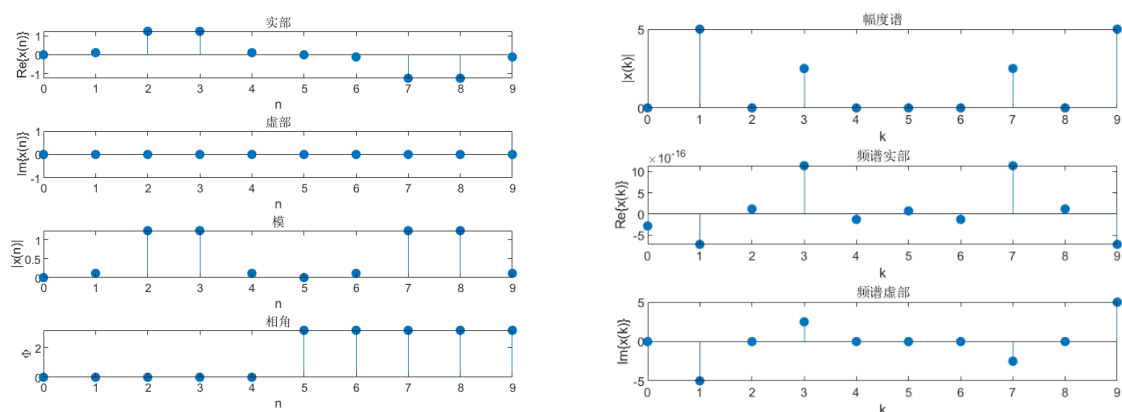
(1) $\phi = 0^\circ$;



(2) $\phi = 90^\circ$;



(3) $\phi = 180^\circ$;



当 $\Phi = 0^\circ$ or 180° 时，为两个正弦序列相加或相减，所得序列为奇对称实序列，虚部为 0，相角只因为实部的正负而分别为 0 或 π 。在频域中，幅度谱和频谱虚部为圆周奇对称，实部理论上为 0；

当 $\Phi = 90^\circ$ 时，为余弦信号和正弦信号相加，由 DFT 变换的线性性质，可得其频谱为正弦信号的频谱叠加余弦信号的频谱，所以在频谱结果中可以发现实部频点位于 3Hz 和 7Hz，虚部频点为 1Hz 和 9Hz。

6-2 DFT 的物理意义

如果从 DTFT 角度看，有限长序列的 DFT 结果包含了 N 个离散频率点处的 DTFT 结果，这 N 个离散频率点等间隔的分布在区间 $[0, 2\pi)$ 内，相当于是对 $X(e^{j\omega})$ 在 $[0, 2\pi)$ 上 N 点等间距采样。

如果从 Z 变换角度看，DFT 相当于在单位圆上取样的 Z 变换。

$X(0) = \sum_{n=0}^{N-1} x(n)$ ，表征信号的直流分量，值等于信号直流分量*采样点数 N 后的值；

$X(1) = \sum_{n=0}^{N-1} x(n)W_N^n$ ，表征信号在基频上的幅度和相位，模等于基频的幅度*采样点数 N，相位为复数的幅角；

$X(N-1) = \sum_{n=0}^{N-1} x(n)W_N^{n(N-1)}$ ，由于共轭对称性，该值与 $X(1)$ 互为共轭。

6-3 DFT 的主要性质

(1) 线性

两个有限长序列 $x_1(n)$ 和 $x_2(n)$ ，其 N 点 DFT 结果分别为 $X_1(k)$ 、 $X_2(k)$ ，如果序列 $x_1(n)$ 和 $x_2(n)$ 的线性组合为 $x_3(n) = ax_1(n) + bx_2(n)$ ，则序列 $x_3(n)$ 的 N 点 DFT 为 $X_3(k) = aX_1(k) + bX_2(k)$ 该性质在复合函数序列的 DFT'变换实验中已验证。

(2) 反转定理

若 $x(n)$ 的 DFT 结果为 $X(k)$ ，则 $x((n))_N$ 的 DFT 结果为 $X((-k))_N$ 。

(3) 序列的循环移位

若 $x(n)$ 的 DFT 结果为 $X(k)$ ，则 $x((n+m))_N$ 的 DFT 结果为 $W_N^{-km}X(k)$ 。

(4) 对称性

如果 $x(n)$ 为实序列，那么

$$\textcircled{1} X(k) = X^*((-k))_N$$

$$\textcircled{2} \text{Re}[X(k)] = \text{Re}[X((-k))_N]$$

$$\textcircled{3} \text{Im}[X(k)] = -\text{Im}[X((-k))_N]$$

$$\textcircled{4} \arg[X(k)] = -\arg[X((-k))_N]$$

(5) 帕塞瓦尔定理

信号在时域和频域中变换时，信号的总能量保持不变

$$\sum_{n=0}^{N-1} |x(n)|^2 = \frac{1}{N} \sum_{k=0}^{N-1} |X(k)|^2$$

(注：

A、黑色部分不要改动。

B、蓝色部分，学生根据本人情况填写。

C、“五、实验数据记录和处理”和“六、实验结果与分析”根据要求（见红色部分），逐条撰写。

D、从第二页起，在每页头部填写实验名称、姓名、学号，标注页码。不够时自行加页。

E、上交纸质报告）

观察实验结果（数据及图形）的特征，做必要的记录，做出解释。包括：

6-1 各种序列的图形（时域）和频谱（频域）各有何特征，给予解释。

6-2 DFT 物理意义。 $X(0)$ 、 $X(1)$ 和 $X(N-1)$ 的物理意义。

6-3 DFT 的主要性质